МОДЕЛИРОВАНИЕ ПРОСТРАНСТВЕННОГО ВЕЙВЛЕТ-АНАЛИЗА ПРИСТЕНОЧНЫХ ТУРБУЛЕНТНЫХ ПУЛЬСАЦИЙ ДАВЛЕНИЯ

Е.Б. Кудашев, Л.Р. Яблоник

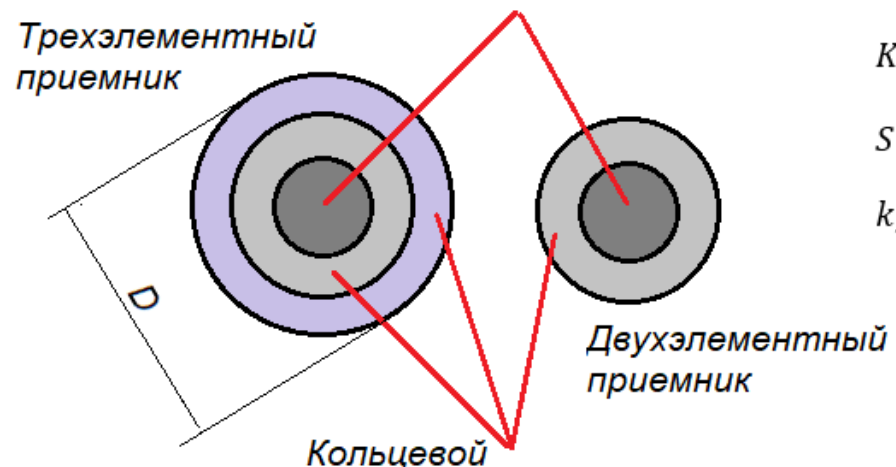
Введение. Постановка задачи

- Частотно-волновой (пространственно-временной) вейвлет-анализ обобщение классического спектрального анализа применительно к нестационарным и пространственно-неоднородным турбулентным полям давления.
- 2. Пространственный (волновой) вейвлет-анализ пристеночных турбулентны давлений до настоящего времени практически не проводился. Важен для диагностики сложных полей.
- 3. Локализация вейвлет-приемника в физическом пространстве неизбежно приводит к расширению волнового окна ($\delta \kappa \cdot \delta l = const$ принцип неопределенности).
- 4. Решается задача оценки габаритов компактных вейвлет-приемников, обеспечивающих адекватное представление волновых характеристик поля пристеночных турбулентных давлений.

Традиционный подход состоит в определении параметров частотно-волнового спектра в зависимости от двух компонент волнового вектора. Рассмотрение скалярного спектра, зависящего лишь от модуля волнового числа, позволяет заметно упростить задачу. В данной работе мы, основываясь на ранее полученных результатах в [1, 2], рассмотрим задачу прямых измерений скалярного спектра. Основная цель: определение условий и возможности скалярного пространственного вейвлет-анализа в исследованиях полей пристеночных турбулентных давлений.

Изотропные вейвлет-приемники пристеночных пульсаций давления





элемент

 $K(\rho)$ – распределение локальной чувствительности по радиусу

 $S(k_s) = \left|2\pi\int_0^\infty
ho K(
ho)J_0(k_s
ho)d
ho\right|^2$ — волновая характеристика приемника

 k_s — модуль волнового вектора

| Требования | Как обеспечивается | Тип приемника | |
|--|--|------------------------|--|
| $S(k_s)=0$ | Соотношение интегральных чувствительностей элементов | Двух- и трехэлементные | |
| $\int_0^\infty S(\kappa_s) d\kappa_s = 1,$ | Нормирование $K(ho)$ | | |
| $S(k_s){\sim}k_s^8$ при $k_s\ll 1$ | Соотношение интегральных чувствительностей элементов | Трехэлементные | |

Компактный скалярный волновой фильтр может быть сформирован из двух приемных элементов – центрального круглого и примыкающего к нему внешнего кольцевого. В [3] мы рассмотрели применение системы полосовых фильтров с волновыми характеристиками S_p одинаковой формы, отличающихся лишь зависящим от параметра p характерным масштабом. Для получения достаточно подробной информации будем полагать, что соседние волновые масштабы фильтров отличаются в $\sqrt{2}$ раз (сдвиг на ½ волновой октавы), причем индекс p = 0 присвоим фильтру, настроенному на волновое число $\kappa_s = 1$. p –индекс, задающий волновое число, на которое настроен фильтр.

Скалярный частотно-волновой спектр

 ω – частота; (k_1, k_2) – компоненты волнового вектора \boldsymbol{k} ; $k_s = |\boldsymbol{k}|$.

 $E(\omega, k_1, k_2)$ – частотно-волновой спектр.

$$P(\omega) = \int_{\infty} E(\mathbf{k}, \omega) d\mathbf{k}$$
 – частотный спектр.

$$\Phi(k_s,\omega)=k_s\int_0^{2\pi}E(k_s\mathrm{cos}\varphi,k_s\mathrm{sin}\varphi,\omega)d\varphi$$
 — скалярный частотно-волновой спектр.

U – скорость внешнего потока; δ – толщина пограничного слоя;

$$\overline{\omega} = \omega \delta /_U; \quad \kappa_s = {k_s U /_\omega}.$$

$$\phi(\kappa_{_S},\overline{\omega})=rac{\omega}{U}rac{\Phi(k_{_S},\omega)}{P(\omega)}-$$
 приведенный скалярный спектр

Моделирование пространственного вейвлет-анализа

$$\left(\frac{\omega D}{U}\right)_{p+1} = \sqrt{2} \left(\frac{\omega D}{U}\right)_p (p = \pm 1, \pm 2 \dots)$$

+†+

Размеры приемников при $\frac{\omega}{u} = const$

| p=-2 | p=-1 | p=0 | p=1 | p=2 |
|------|------|-----|-----|----------|
| | | | | ® |

Волновая характеристика приемника «p»:

$$S_p(\kappa_s) = \frac{1}{\frac{p}{2^2}} S_0\left(\frac{\kappa_s}{\frac{p}{2^2}}\right).$$

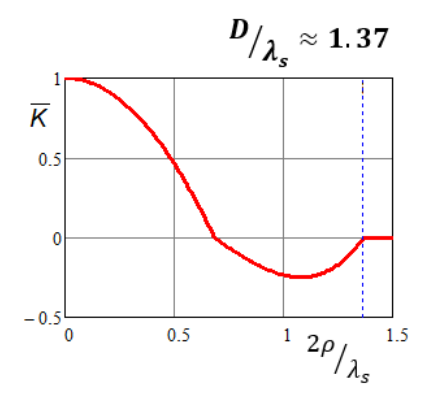
Центральное волновое число приемника «p»: $\kappa_{sp} = \int_0^\infty \kappa_s S_p(\kappa_s) d\kappa_s$.

Выходной сигнал приемника (p): $\varphi_{mp}(\overline{\omega},p) = \int_0^\infty S_p(\kappa_s) \varphi(\kappa_s,\overline{\omega}) d\kappa_s$.

следующих слайдах исследована эффективность Ha пространственного вейвлет-анализа, основанного на применении двухэлементных приемников. В значительной части частотно-волнового диапазона волновой спектр оценивается с отклонением менее децибел **Tpex** («зеленый» диапазон значений κ_s на диаграммах). Отклонения более 5 дБ («красный» диапазон) выявлены лишь в достаточно узком интервале волновых параметров в зоне значений $\kappa_s \approx 0.3$ при относительно высоких безразмерных частотах $\overline{\omega} \ge \sim 10$.

Работа двухэлементного параболического вейвлет-приемника

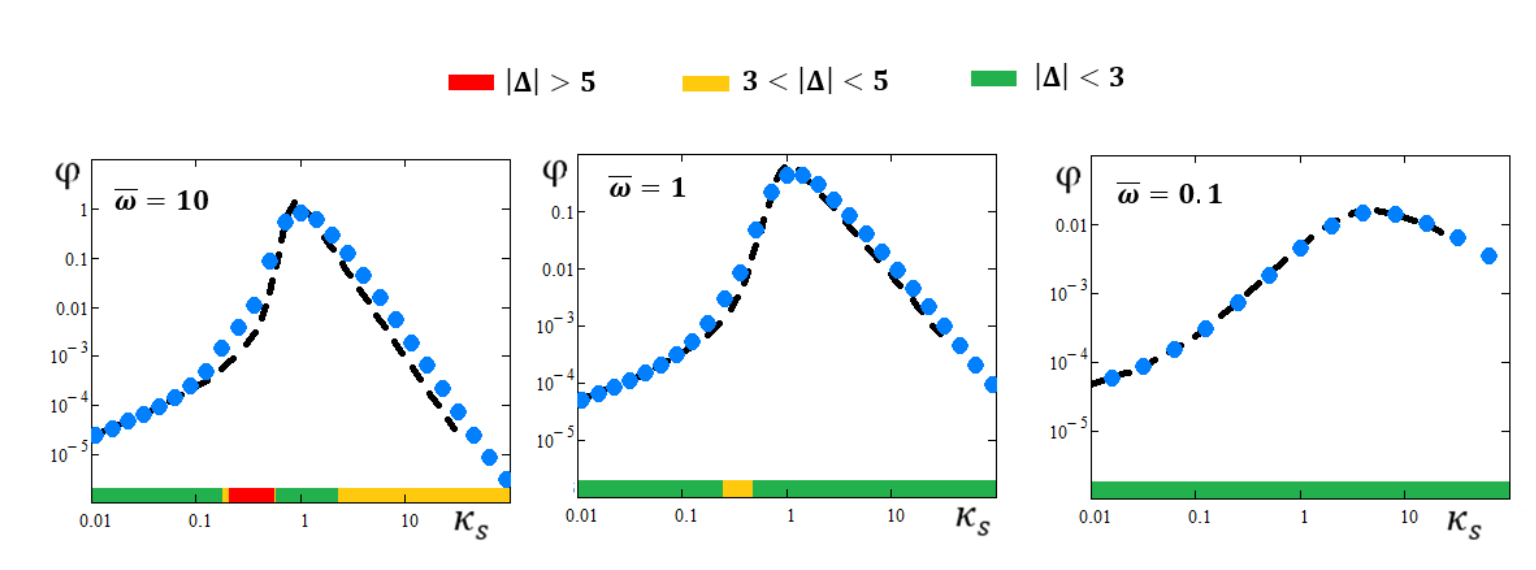
$$\overline{K}_{\Pi}(\rho) = \begin{cases} 1 - \left(\frac{\rho}{\mu_2}\right)^2 \text{ при } 0 \leq \frac{\rho}{\mu_2} \leq 1; \\ \alpha_2 \left[1 - \left(\frac{\rho}{\mu_2}\right)^2\right] \left[4 - \left(\frac{\rho}{\mu_2}\right)^2\right] \text{ при } 1 < \frac{\rho}{\mu_2} \leq 2 \\ 0 \text{ при } \frac{\rho}{\mu_2} > 2. \end{cases}$$



приведенный скалярный спектр φ

lacktriangle выходной сигнал приемника $oldsymbol{arphi}_{mp}$

 $\Delta=10\lgig(^{oldsymbol{arphi_{mp}}}\!/_{oldsymbol{\phi}}ig)$

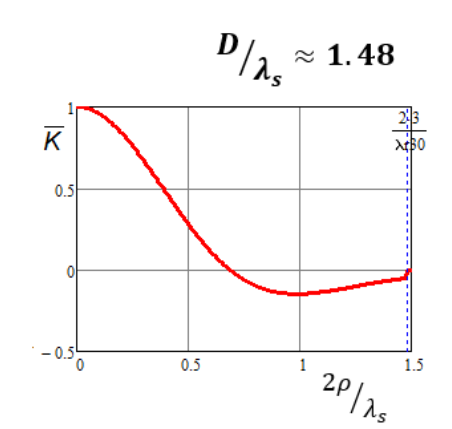


Работа <u>двухэлементного</u> вейвлет-приемника «ограниченная мексиканская шляпа»

$$\overline{K}_{\mathrm{MH}}(\rho) = \left[1 - \frac{1}{2} \left(\frac{\rho}{\mu}\right)^{2}\right] \exp\left[-\frac{1}{2} \left(\frac{\rho}{\mu}\right)^{2}\right]$$

$$\overline{K}_{\mathrm{MH}c}(\rho, R_{e}) = \begin{cases} \overline{K}_{\mathrm{MH}}(\rho) - \exp\left[-\frac{1}{2} \left(\frac{R_{e}}{\mu}\right)^{2}\right] & \text{при } 0 \leq \rho \leq R_{e} \\ 0 & \text{при } \rho > R_{e} \end{cases}$$

$$\frac{R_{e}}{\mu} = 0.3$$



приведенный скалярный спектр φ

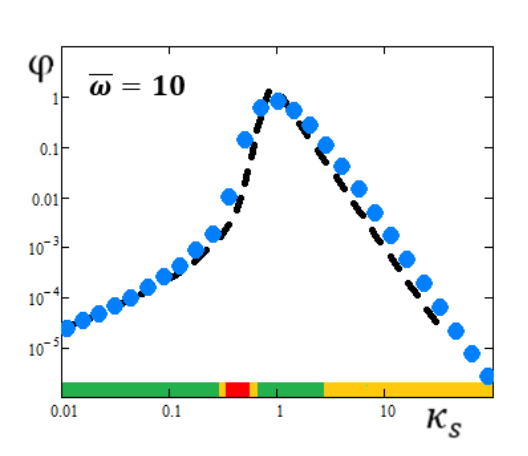
lacktriangle выходной сигнал приемника $oldsymbol{arphi}_{mp}$

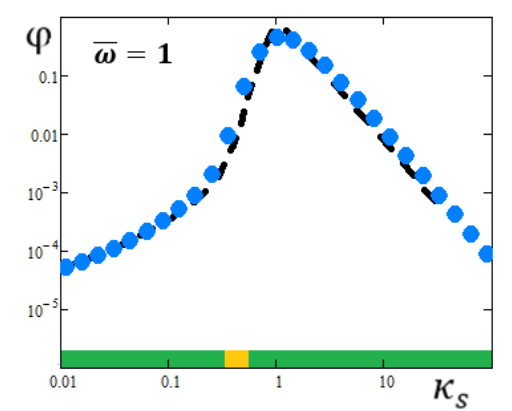
$$\Delta=10~ ext{lg}ig(^{oldsymbol{arphi_{mp}}}\!/_{oldsymbol{\phi}}ig)$$

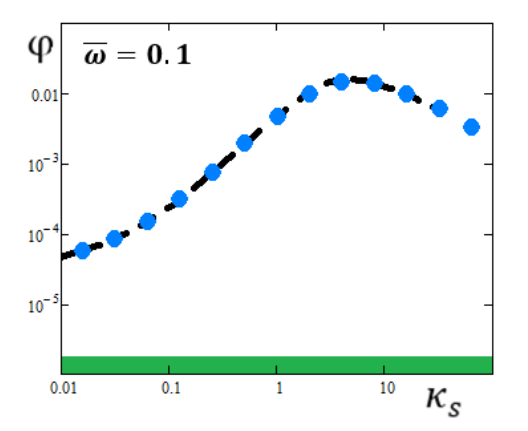
$$lacksquare$$
 $|\Delta| > 5$

$$---3 < |\Delta| < 5$$





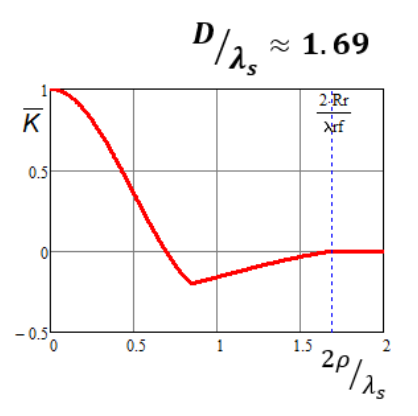




Работа двухэлементного бесселева вейвлет-приемника

$$\overline{K}_{2B}(
ho) = rac{2}{3} \left[4b \left(rac{2
ho}{\mu}
ight) - b \left(rac{
ho}{\mu}
ight)
ight]$$
 $b(
ho) = egin{cases} rac{J_1(
ho)}{
ho} & ext{при } 0 <
ho \leq rJ_1 \ 0 & ext{при }
ho > rJ_1 \end{cases}$

 $rJ_1 \approx 3.8$ – первый корень бесселевой функции $J_1(\rho)$.

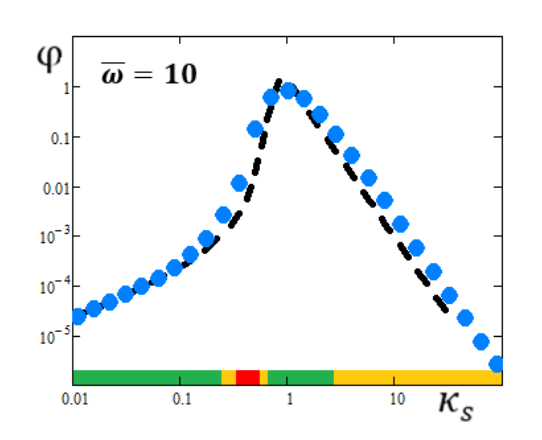


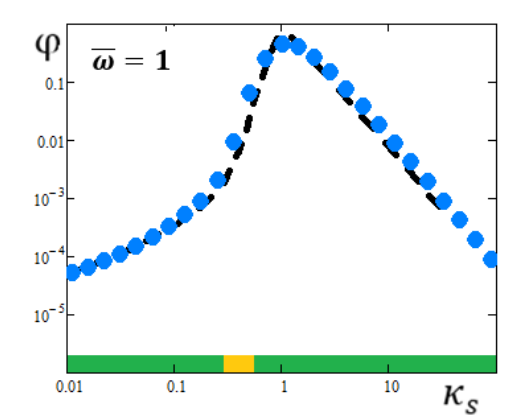
🕳 — • приведенный скалярный спектр ϕ выходной сигнал приемника ϕ_{mp}

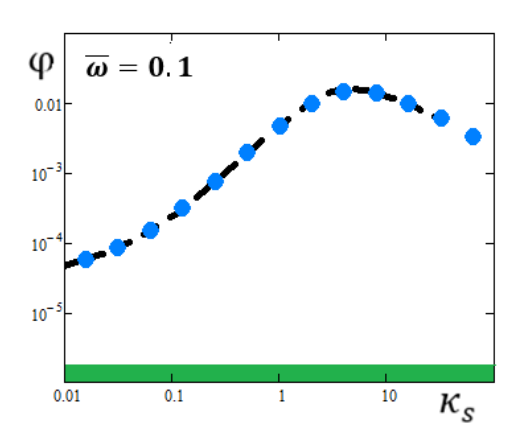
 $\Delta=10\lgig(^{oldsymbol{arphi_{mp}}}\!/_{oldsymbol{\phi}}ig)$

5

 $|\Delta| < 3$







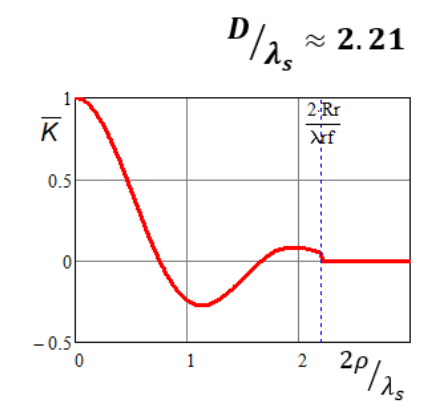
На следующем слайде представленные результаты относятся к применению трехэлементного вейвлет-приемника. Результаты моделирования пространственного вейвлет-анализа турбулентных пульсаций давления демонстрируют эффективную оценку волновых характеристик. Здесь в отличие от двухэлементных вейвлет-приемников отклонение не превышает величины 2 дБ во всем исследованном частотно-волновом диапазоне.

Работа трехэлементного бесселева вейвлет-приемника

$$\overline{K}_{3B}(\rho) = \frac{2}{3} \left[4b1 \left(\frac{2\rho}{\mu} \right) - b \left(\frac{\rho}{\mu} \right) \right]$$

$$b(\rho) = \begin{cases} \frac{J_1(\rho)}{\rho} & \text{при } 0 < \rho \leq rJ_1 \\ 0 & \text{при } \rho > rJ_1 \end{cases} ; \quad b1(\rho) = \begin{cases} \frac{J_1(\rho)}{\rho} & \text{при } 0 < \rho \leq R0 \\ 0 & \text{при } \rho > R0 \end{cases}$$

 $rJ_1 \approx 3.8$ – первый корень бесселевой функции $J_1(\rho)$; $R0 \approx 9.5$

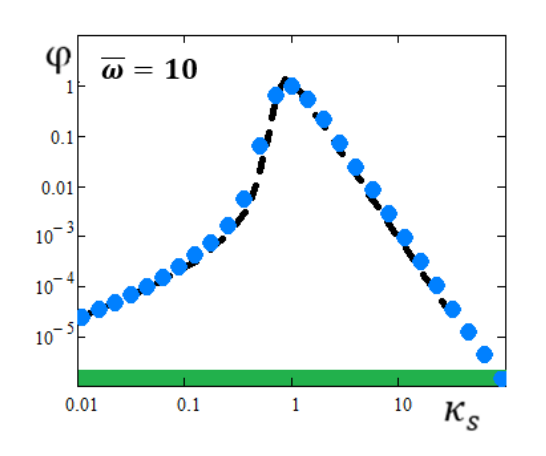


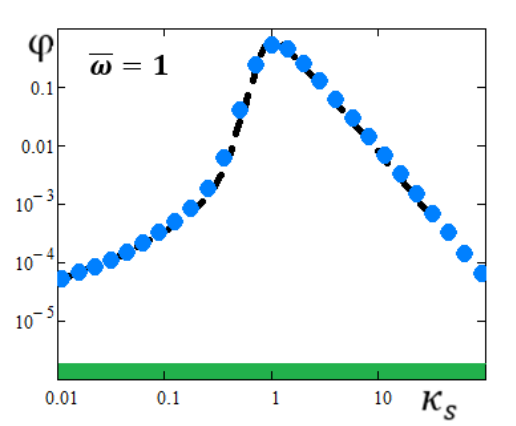
приведенный скалярный спектр φ

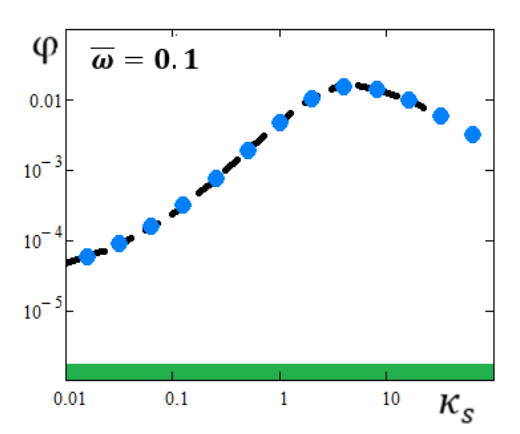
lacktriangle выходной сигнал приемника ϕ_{mp}

$$\Delta=10\, ext{lg}ig(^{oldsymbol{arphi_{mp}}}\!/_{oldsymbol{\phi}}ig)$$









Основные результаты

- 1. Компактные двухэлементные изотропные вейвлет-приемники способны обеспечить удовлетворительное решение задачи оценки волновых характеристик пристеночных пульсаций давления в пограничном слое в широком частотно-волновом диапазоне. Диаметры двухэлементных приемников составляют примерно 1.5 длины волны, на которую настроен волновой фильтр.
- 2. Применение трехэлементных вейвлет-приемников, диаметр которых составляет примерно 2.2 длины регистрируемой волны, позволяет достичь весьма качественной оценки волновых характеристик во всем исследованном частотно-волновом диапазоне.
- 3. Результаты модельного вейвлет-анализа достаточно близки для различных гладких распределений локальной чувствительности по радиусу, что практически снимает труднорешаемую задачу обеспечения конкретных локальных характеристик приемной поверхности вейвлет-приемника при физических измерениях.

Выводы

- 1. Использование скалярных волновых фильтров в качестве изотропных вейвлет-приемников позволяет осуществить пространственный вейвлет-анализ турбулентных полей пристеночных пульсаций давления.
- 2. Методы скалярной волновой фильтрации существенно расширяют возможности экспериментального исследования пространственно-временной структуры полей пристеночных пульсаций давления.
- 3. Выделение отдельных компонент частотно-волнового спектра посредством изотропных вейвлет-приемников позволяет определять вклад различных масштабов турбулентного движения жидкости или газа...

Подробные результаты моделирования пространственного (волнового) вейвлет-анализа полей пристеночных пульсаций давления представлены в [3].

Литература

- 1. Кудашев Е.Б., Яблоник Л.Р. Модели и методы скалярной волновой фильтрации полей пристеночных турбулентных пульсаций давления // Акустический журнал. 2022, том 68, № 6, с. 670–678.
- 2. Кудашев Е.Б., Яблоник Л.Р. Характеристики скалярного частотно-волнового спектра пристеночных пульсаций давления в безградиентном турбулентном пограничном слое // Акустический журнал. 2024, том 70, № 2, с. 244–252.
- 3. Кудашев Е.Б., Яблоник Л.Р. Моделирование работы скалярных волновых фильтров изотропных вейвлетов в поле пристеночных турбулентных пульсаций давления // Акустический журнал. 2025том 71, № 5.